

UOGÓLNIONY MODEL MATEMATYCZNY PRZETWORNIKÓW JEDNOCZESNYCH ZMIAN DWÓCH PARAMETRÓW DWÓJNIKÓW RC / GC O WYJŚCIU CZĘSTOTLIWOŚCIOWYM

Lesław TOPÓR-KAMIŃSKI¹, Janusz GUZIK², Adam PILŚNIAK³

1. Politechnika Śląska, Katedra Metrologii, Elektroniki i Automatyki
tel.: 32 237 25 12, e-mail: leslaw.topor-kaminski@polsl.pl
2. Politechnika Śląska, Katedra Metrologii, Elektroniki i Automatyki
tel.: 32 237 29 91, e-mail: janusz.guzik@polsl.pl
3. Politechnika Śląska, Katedra Metrologii, Elektroniki i Automatyki
tel.: 32 237 26 54, e-mail: adam.pilsniak@polsl.pl

Streszczenie: W pracy przedstawiono uogólniony model matematyczny nowej klasy przetworników parametrów $\{(R;C), (C; tg\delta=\omega RC), (G;C); (C; tg\delta=G/\omega C)\}$ (dwójników RC postaci $Z = R+1/j\omega C$ lub dwójników GC postaci $Y = G+j\omega C$), pozwalających w oparciu o układ oscylatora kwadraturowego rzędu trzeciego (por. rysunek 1a,b) na jednoczesny pomiar tych dwóch parametrów, przy czym zmianom jednego z parametrów (C) odpowiadają zmiany wartości pulsacji ω sygnału wyjściowego przetwornika, natomiast zmianom wartości drugiego z parametrów ($R, G, tg\delta$) – odpowiednio – wzrost lub spadek wartości amplitudy U_1 i U_2 generowanych sygnałów. Wskazano przy tym na optymalne układy analizowanej klasy przetworników.

Słowa kluczowe: dwójnik typu RC / GC, przetwornik zmian parametrów impedancji – częstotliwość, oscylator kwadraturowy rzędu trzeciego, transkonduktancyjny wzmacniacz operacyjny (OTA).

1. WSTĘP

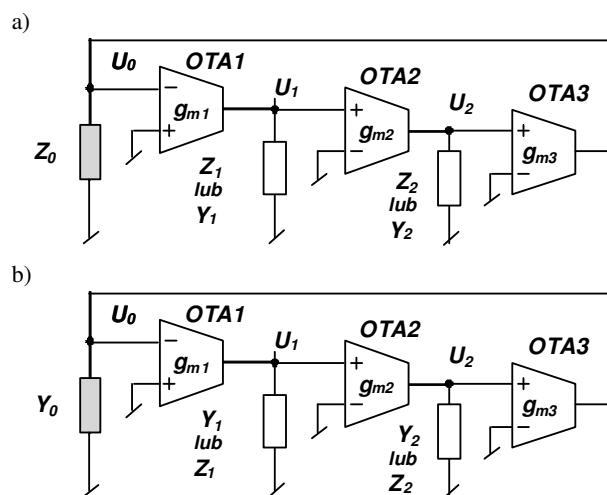
W literaturze (np. [1, 2]) opisanych jest wiele różnych metod pomiaru składowych impedancji Z dwójników RC postaci $Z = R+1/j\omega C$ lub admittancji Y dwójników GC postaci $Y = G+j\omega C$. Jedną z rozwijanych w ostatnim okresie klas przetworników są układy oparte o przetwarzanie parametrów impedancji - wybranych spośród par $\{(R;C), (C; tg\delta=\omega RC)\}$ lub $\{(G;C); (C; tg\delta=G/\omega C)\}$ - na częstotliwość, w których wykorzystywane są przeróżne konstrukcje oscylatorów [3]. Jednym z charakterystycznych, kluczowych kryteriów podziału takich przetworników jest między innymi rząd n równania charakterystycznego opisującego układ oscylatora [4, 5, 6, 7].

Dotychczas opracowywane przetworniki składowych impedancji na częstotliwość wykorzystywały zazwyczaj oscylatory rzędu $n=2$ i umożliwiały na ogół przetwarzanie tylko jednego parametru dwójników typu RC lub GC [3].

Z kolei zastosowanie oscylatorów rzędu trzeciego, tj. o $n=3$, pozwala na zarówno mniejszą zawartość wyższych harmonicznych w wytwarzanych oscylacjach [8], jak i na zasygnalizowaną w pracy [9] możliwość jednoczesnego pomiaru dwóch parametrów takich dwójników.

2. PODSTAWOWE ZALEŻNOŚCI

W dalszym ciągu w niniejszym artykule zaprezentowano opis uogólnionego modelu matematycznego analizowanej klasy przetworników do jednoczesnego pomiaru dwóch parametrów dwójników zarówno typu RC jak i GC - zilustrowanych odpowiednio na rys. 1a,b.



Rys. 1. Przetwornik jednoczesnych zmian parametrów dwójników RC / GC postaci: $\{(R_0;C_0), (C_0;tg\delta_0)\}$ (a) oraz $\{(G_0;C_0), (C_0;tg\delta_0)\}$ (b)

Wykorzystano do tego celu układ oscylatora kwadraturowego rzędu $n=3$ z zastosowaniem 3 transkonduktancyjnych wzmacniaczy operacyjnych OTA1 – OTA3 [8, 9].

Pracę układu przetwornika według rysunku 1a,b opisuje równanie charakterystyczne rzędu $n=3$ postaci: $a_0 + a_1s + a_2s^2 + a_3s^3 = 0$, co pozwala na określenie zawartych w tabelach 1 i 2 wartości pulsacji oscylacji $\omega = \omega_G = \omega_0$ [8, 9]:

$$\omega_G = \sqrt{a_0/a_2} \quad (1a)$$

$$\omega_0 = \sqrt{a_1/a_3} \quad (1b)$$

Tabela 1. Zestawienie wartości danych $\omega=\omega_G=\omega_0$ dla przetwornika parametrów dwójników RC wg rys.1a

$\omega = f(C_0) = \sqrt{\frac{g_{m1}g_{m2}g_{m3}(R_0C_0 + R_1C_1 + R_2C_2)}{C_0C_1C_2 + g_{m1}g_{m2}g_{m3}R_0C_0R_1C_1R_2C_2}}$	$Z_0-Z_1-Z_2$
$(R_1 = 0; R_2C_2 \gg R_0C_0):$	Wariant
$\omega = f(C_0) = \sqrt{\frac{g_{m1}g_{m2}g_{m3}R_2}{C_0C_1}}$	
$(R_2 = 0; R_1C_1 \gg R_0C_0):$	
$\omega = f(C_0) = \sqrt{\frac{g_{m1}g_{m2}g_{m3}R_1}{C_0C_2}}$	
$\omega = f(C_0) = \sqrt{\frac{g_{m1}g_{m2}g_{m3}(R_0C_0 + R_2C_2)}{C_0C_1C_2}}$	$Z_0-Y_1-Z_2$
$R_2C_2 \gg R_0C_0:$	Wariant
$\omega = f(C_0) = \sqrt{\frac{g_{m1}g_{m2}g_{m3}R_2}{C_0C_1}}$	
$\omega = f(C_0) = \sqrt{\frac{g_{m1}g_{m2}g_{m3}(R_0C_0 + R_1C_1)}{C_0C_1C_2}}$	$Z_0-Z_1-Y_2$
$R_1C_1 \gg R_0C_0:$	Wariant
$\omega = f(C_0) = \sqrt{\frac{g_{m1}g_{m2}g_{m3}R_1}{C_0C_2}}$	
$\omega = f(C_0) = \sqrt{\frac{g_{m1}g_{m2}g_{m3}}{G_1C_0C_2 + G_2C_0C_1}}$	$Z_0-Y_1-Y_2$
$G_1 = 0:$	Wariant
$\omega = f(C_0) = \sqrt{\frac{g_{m1}g_{m2}g_{m3}}{G_2C_0C_1}}$	
$G_2 = 0:$	
$\omega = f(C_0) = \sqrt{\frac{g_{m1}g_{m2}g_{m3}}{G_1C_0C_2}}$	

Sygnalami wyjściowymi przetworników wg rysunku 1a,b są tutaj napięcia U_1 oraz U_2 , przy czym występuje dla nich cecha typowa dla oscylatorów kwadraturowych, tj. przesunięcie fazowe tych napięć względem siebie o kąt $\pi/2$ [4, 5, 6, 7].

W cytowanych już pracach [8,9] pokazano, że dla relacji $\omega=\omega_G=\omega_0$ mamy do czynienia z sygnałami sinusoidalnymi U_1 lub U_2 o jednakowej amplitudzie, co można względnie łatwo stwierdzić doświadczalnie oscyloskopem dwukanałowym metodą krzywych Lissajoux [1, 2]. Ma to miejsce wtedy, gdy [9]:

Tabela 2. Zestawienie wartości danych $\omega=\omega_G=\omega_0$ dla przetwornika parametrów dwójników GC wg rys.1b

$Y_0-Y_1-Y_2$	$\omega = f(C_0) = \sqrt{\frac{g_{m1}g_{m2}g_{m3}}{G_0C_1C_2 + G_2C_0C_1 + G_1C_0C_2}}$
Wariant	$(G_1 = 0; G_2C_0 \gg G_0C_2):$
	$\omega = f(C_0) = \sqrt{\frac{g_{m1}g_{m2}g_{m3}}{G_2C_0C_1}}$
	$(G_2 = 0; G_1C_0 \gg G_0C_1):$
	$\omega = f(C_0) = \sqrt{\frac{g_{m1}g_{m2}g_{m3}}{G_1C_0C_2}}$
$Y_0-Z_1-Y_2$	$\omega = f(C_0) = \sqrt{\frac{G_0G_2C_1 + g_{m1}g_{m2}g_{m3}R_1C_1}{C_0C_1C_2}}$
Wariant	$G_2 = 0:$
	$\omega = f(C_0) = \sqrt{\frac{g_{m1}g_{m2}g_{m3}R_1}{C_0C_2}}$
$Y_0-Y_1-Z_2$	$\omega = f(C_0) = \sqrt{\frac{G_0G_1C_2 + g_{m1}g_{m2}g_{m3}R_2C_2}{C_0C_1C_2}}$
Wariant	$G_1 = 0:$
	$\omega = f(C_0) = \sqrt{\frac{g_{m1}g_{m2}g_{m3}R_2}{C_0C_1}}$
$Y_0-Z_1-Z_2$	$\omega = f(C_0) = \sqrt{\frac{g_{m1}g_{m2}g_{m3}(R_1C_1 + R_2C_2)}{C_0C_1C_2}}$
Wariant	$R_1 = 0:$
	$\omega = f(C_0) = \sqrt{\frac{g_{m1}g_{m2}g_{m3}R_2}{C_0C_1}}$
	$R_2 = 0:$
	$\omega = f(C_0) = \sqrt{\frac{g_{m1}g_{m2}g_{m3}R_1}{C_0C_2}}$

$$\frac{a_0}{a_2} = \frac{a_1}{a_3} \quad (2)$$

Warto podkreślić, że brak spełnienia warunku (2) prowadzi wprost do powstania łatwo stwierdzalnych tłumionych lub narastających oscylacji o wartości pulsacji ω . W dalszym ciągu w tabelach 3 i 4 zestawiono szczegółowe postacie warunku (2).

3. WYBÓR OPTYMALNEJ POSTACI RÓWNAŃ PRZETWARZANIA UOGÓLNIENEGO MODELU ANALIZOWANEJ KLASY PRZETWORNIKÓW PARAMETRÓW DWÓJNIKÓW RC / GC

Równania przetwarzania dla uogólnionego modelu przetworników parametrów dwójników RC / GC według rysunku 1a,b są tutaj następujące. Wartość składowej biernej C_0 przetwarzana jest wprost na częstotliwość (tub: pulsację $\omega=\omega_G=\omega_0$), zgodnie z wzorami zawartymi w tabelach 1 i 2 typu $\omega = f(C_0) = k/\sqrt{C_0}$, gdzie k jest pewną stałą.

Tabela 3. Zestawienie szczegółowych postaci warunku (2) dla przetwornika parametrów dwójników RC wg rys.1a

$Z_0-Z_1-Z_2$	$\frac{1}{R_0 C_0 (R_1 C_1 + R_2 C_2) + R_1 C_1 R_2 C_2} =$ $= \frac{g_{m1} g_{m2} g_{m3} (R_0 C_0 + R_1 C_1 + R_2 C_2)}{C_0 C_1 C_2 + g_{m1} g_{m2} g_{m3} R_0 C_0 R_1 C_1 R_2 C_2}$
Wariant	$(R_1 = 0; R_2 C_2 \gg R_0 C_0):$ $R_0 = \frac{C_1}{R_2^2 C_2 g_{m1} g_{m2} g_{m3}} = g(C_2);$ $tg \delta_0 = \frac{1}{\omega R_2 C_2} = \frac{1}{tg \delta_2} = h(C_2)$
	$(R_2 = 0; R_1 C_1 \gg R_0 C_0):$ $R_0 = \frac{C_2}{R_1^2 C_1 g_{m1} g_{m2} g_{m3}} = g(C_1);$ $tg \delta_0 = \frac{1}{\omega R_1 C_1} = \frac{1}{tg \delta_1} = h(C_1)$
$Z_0-Y_1-Z_2$	$\frac{1}{G_1 C_0 C_2 + g_{m1} g_{m2} g_{m3} R_0 C_0 R_2 C_2} = \frac{R_0 C_0 + R_2 C_2}{C_0 C_1 C_2}$
Wariant	$R_2 C_2 \gg R_0 C_0:$ $R_0 = \frac{C_1 - R_2 G_1 C_2}{R_2^2 C_2 g_{m1} g_{m2} g_{m3}} = g(C_2);$ $tg \delta_0 = \frac{1}{tg \delta_2} \frac{C_1 - R_2 G_1 C_2}{C_1} = h(C_2)$
$Z_0-Z_1-Y_2$	$\frac{1}{G_2 C_0 C_1 + g_{m1} g_{m2} g_{m3} R_0 C_0 R_1 C_1} = \frac{R_0 C_0 + R_1 C_1}{C_0 C_1 C_2}$
Wariant	$R_1 C_1 \gg R_0 C_0:$ $R_0 = \frac{C_2 - R_1 G_2 C_1}{R_1^2 C_1 g_{m1} g_{m2} g_{m3}} = g(C_1);$ $tg \delta_0 = \frac{1}{tg \delta_1} \frac{C_2 - R_1 G_2 C_1}{C_2} = h(C_1)$
$Z_0-Y_1-Y_2$	$\frac{g_{m1} g_{m2} g_{m3}}{G_1 C_0 C_2 + G_2 C_0 C_1} = \frac{G_1 G_2 C_0 + g_{m1} g_{m2} g_{m3} R_0 C_0}{C_0 C_1 C_2}$
Wariant	$G_1 = 0:$ $R_0 = \frac{C_2}{G_2 C_0};$ $tg \delta_0 = \frac{\omega C_2}{G_2} = \frac{1}{tg \delta_2} = h(C_2)$
	$G_2 = 0:$ $R_0 = \frac{C_1}{G_1 C_0};$ $tg \delta_0 = \frac{\omega C_1}{G_1} = \frac{1}{tg \delta_1} = h(C_1)$

Wartość składowej czynnej R_0 lub G_0 lub współczynnika strat dielektrycznych $tg \delta_0 = \omega R_0 C_0$ oraz $tg \delta_0 = G_0 / \omega C_0$ wyznaczana jest z równości amplitud sygnału U_1 i U_2 , tj. warunku (2) (por. tabele 3 i 4).

Innymi słowy oznacza to, że w strukturach uogólnionego modelu przetworników będą występowały dodatkowe elementy nastawne ζ , pozwalające na uzyskanie relacji: $U_1 = U_2$. Zatem matematycznym warunkiem wyboru elementów nastawnych ζ , jest dla par funkcji:

$$\left. \begin{aligned} \omega &= f(C_0) \\ R_0 \text{ lub } G_0 &= g(\zeta) \end{aligned} \right\}. \quad (3a)$$

$$\left. \begin{aligned} \omega &= f(C_0) \\ tg \delta_0 &= h(\zeta) \end{aligned} \right\}. \quad (3b)$$

Tabela 4. Zestawienie szczegółowych postaci warunku (2) dla przetwornika parametrów dwójników GC wg rys.1b

$Y_0-Y_1-Y_2$	$\frac{g_{m1} g_{m2} g_{m3}}{G_0 C_1 C_2 + G_2 C_0 C_1 + G_1 C_0 C_2} =$ $= \frac{G_0 G_1 C_2 + G_0 G_2 C_1 + G_1 G_2 C_0}{C_0 C_1 C_2}$
Wariant	$(G_1 = 0; G_2 C_0 \gg G_0 C_2):$ $G_0 = \frac{g_{m1} g_{m2} g_{m3} C_2}{G_2^2 C_1} = g(C_2);$ $tg \delta_0 = \frac{\omega C_2}{G_2} = \frac{1}{tg \delta_2} = h(C_2)$
	$(G_2 = 0; G_1 C_0 \gg G_0 C_1):$ $G_0 = \frac{g_{m1} g_{m2} g_{m3} C_1}{G_1^2 C_2} = g(C_1);$ $g \delta_0 = \frac{\omega C_1}{G_1} = \frac{1}{tg \delta_1} = h(C_1)$
$Y_0-Z_1-Y_2$	$\frac{g_{m1} g_{m2} g_{m3}}{G_0 C_1 C_2 + G_2 C_0 C_1} = \frac{G_0 G_2 C_1 + g_{m1} g_{m2} g_{m3} R_1 C_1}{C_0 C_1 C_2}$
Wariant	$G_2 = 0:$ $G_0 = \frac{C_0}{R_1 C_1};$ $tg \delta_0 = \frac{1}{\omega R_1 C_1} = \frac{1}{tg \delta_1} = h(C_1)$
$Y_0-Y_1-Z_2$	$\frac{g_{m1} g_{m2} g_{m3}}{G_0 C_1 C_2 + G_1 C_0 C_2} = \frac{G_0 G_1 C_2 + g_{m1} g_{m2} g_{m3} R_2 C_2}{C_0 C_1 C_2}$
Wariant	$G_1 = 0:$ $G_0 = \frac{C_0}{R_2 C_2};$ $tg \delta_0 = \frac{1}{\omega R_2 C_2} = \frac{1}{tg \delta_2} = h(C_2)$
$Y_0-Z_1-Z_2$	$\frac{1}{G_0 C_1 C_2 + R_1 R_2 C_1 C_2 g_{m1} g_{m2} g_{m3}} = \frac{R_1 C_1 + R_2 C_2}{C_0 C_1 C_2}$
Wariant	$R_1 = 0:$ $G_0 = \frac{C_0}{R_2 C_2};$ $tg \delta_0 = \frac{1}{\omega R_2 C_2} = \frac{1}{tg \delta_2} = h(C_2)$
	$R_2 = 0:$ $G_0 = \frac{C_0}{R_1 C_1};$ $tg \delta_0 = \frac{1}{\omega R_1 C_1} = \frac{1}{tg \delta_1} = h(C_1)$

jest kryterium (i), by $\partial f / \partial \zeta = 0$, $\partial g / \partial C_0 = 0$ i $\partial h / \partial C_0 = 0$. Odpowiada to wyborowi nastaw uwidoczniionych po prawej stronie kolumn tabel 3 i 4 (brak zaznaczenia symbolizuje niespełnienie tego kryterium). Możliwości pomiaru parametrów określonych układem (3a) nie posiadają natomiast układy przetworników oznaczone symbolami: $Z_0-Y_1-Y_2$, $Y_0-Z_1-Y_2$, $Y_0-Y_1-Z_2$, i $Y_0-Z_1-Z_2$.

Kryterium (ii) dotyczy z kolei wyboru układu o jak najmniejszej liczbie wielkości wpływowych występujących w równaniach przetwarzania (3a) -(3b). Wtedy to z uwagi na złożoność równań przetwarzania, porównywalne są układy $Z_0-Z_1-Z_2$, $Y_0-Y_1-Y_2$, natomiast zdecydowanie należy wykluczyć układy oznaczone symbolami: $Z_0-Y_1-Z_2$ oraz $Z_0-Z_1-Y_2$.

Trzecim kryterium (iii) jest maksymalizacja czułości przetwarzania przez przetwornik parametru C_0 , tj. $k \rightarrow \max$.

I tutaj (por. tablice 1 i 2) właściwości wszystkich układów są pod tym względem porównywalne.

4. WNIOSKI KOŃCOWE

Ważną zaletą przyjętej realizacji przetworników według rysunku 1a,b jest możliwość pomiaru w tym samym czasie 2 składowych impedancji pasywnego dwójnika typu RC/GC postaci: $\{(R_0, C_0), (G_0, C_0), (C_0, tg\delta_0)\}$ przy czym jeden z tych parametrów jest przetwarzany wprost na częstotliwość (pulsację ω – por. tablice 1 i 2), natomiast drugi parametr wyznaczany jest na podstawie warunku (2) przy stałości amplitud sygnałów sinusoidalnych U_1 lub U_2 .

Wtedy to koniecznym jest jednak wskazanie elementu nastawnego ζ (tu: C_1 lub C_2 – por. tablice 3 i 4).

Omawiane układy przetworników można przy tym łatwo zautomatyzować i przystosować np. do pomiarów różnicowych, wykorzystując zalety tego typu pomiaru [1,2].

Reasumując – optymalnymi przetwornikami do pomiaru składowych $(R_0, C_0), (G_0, C_0)$ są układy $Z_0-Z_1-Z_2, Y_0-Y_1-Y_2$, natomiast do przetwarzania parametrów $(C_0, tg\delta_0)$ – odpowiednio – układy $Y_0-Z_1-Y_2, Y_0-Y_1-Z_2, Y_0-Z_1-Z_2$. W tym ostatnim przypadku dodatkową zaletą jest mało krytyczny dobór nastaw wartości $tg\delta_{1,2} = 1/tg\delta_0$.

5. BIBLIOGRAFIA

1. Szadkowski B.: Synteza metod pomiaru immitancji, Zeszyty Naukowe Politechniki Śląskiej, Elektryka, Nr 93 (802), Gliwice 1984.
2. Tumański S.: Principles of electrical measurement, CRC Press, Taylor & Francis Group, New York, London 2006.
3. Rybin Y. K.: Measuring signal generators, Springer International Publishing AG Switzerland, Zürich 2014.
4. Ahmed M. T., Khan I. A., Minhaj N.: On transconductance – C quadrature oscillators, International Journal of Electronics, Issue 2, Vol. 83, 1997, s. 201-208.
5. Chaturvedi B., Maheshwari S.: Third order quadrature oscillator circuit with current and voltage outputs, ISRN Electronics, Article ID:385062, 2013, s. 1-8.
6. Pandey R. et. al.: OTRA based voltage mode third order quadrature oscillator, ISRN Electronics, Article ID:126471, 2014, s. 1-5.
7. Pandey N., Pandey R.: Approach for third order quadrature oscillator realisation, IET Circuits, Devices and Systems, Issue 3, Vol.9, 2015, s.161-171.
8. Topór-Kamiński L.: Wielozakresowe wzmacniacze operacyjne w układach oscylacyjnych, Wydawnictwo Pomiarów, Automatyka, Kontrola, Warszawa 2008.
9. Topór-Kamiński L., Guzik J., Piłśniak A.: Struktury przetworników jednoczesnych zmian dwóch parametrów dwójników RC o wyjściu częstotliwościowym, Zeszyty Naukowe Wydziału Elektrotechniki i Automatyki PG, Nr 54, Gdańsk 2017, s. 225-228.

GENERALIZED MODEL OF SIMULTANEOUS TWO PARAMETER CHANGES OF TWO-PORT RC / GC NETWORK CONVERTER WITH FREQUENCY OUTPUT

In the paper the generalized model of simultaneous new two parameter $\{(R;C), (C; tg\delta=\omega RC), (G;C); (C; tg\delta=G/\omega C)\}$ changes (of two-port RC given in form $Z = R+1/j\omega C$ or GC network given in form $Y = G+j\omega C$) converter with frequency output is presented. The converter is based on third order quadrature oscillator (see Fig.1a,b) where one of the measuring two-port parameter (C) is converted into frequency ω , however second parameter changes (R, G, tg δ) – suitably converted – to the growth or the fall of amplitude value U_1 or U_2 of generated signals. The advantages of proposed optimal converter realization variant circuits were indicated

Keywords: impedance component changes-to-frequency converter, quadrature oscillator, transconductance amplifier (OTA).